

Квантовая деформация иерархии ВКП

Драчов Ярослав

Факультет общей и прикладной физики МФТИ

21 июня 2022 г.

Аннотация

Целью данной работы является изучение интегрируемой иерархии ВКП, её \hbar -деформации и разложений по родам частных решений данной иерархии. Основная задача работы — проверить, являются ли известные разложения по родам решений иерархии ВКП решениями деформированной иерархии \hbar -ВКП. К результатам можно отнести проверку для статсуммы матричной модели БГВ, выдвижение на основании этого гипотезы относительно вида разложения по родам всех гипергеометрических τ -функций ВКП.

Благодарности и библиографическая информация

По желанию, не больше 1 стр.

Содержание

Благодарности и библиографическая информация	1
1 Введение	2
2 Бозонно-фермионное соответствие КП	4
2.1 Полиномы Шура	4
2.2 Пространство Фока, фермионы и алгебра $\widehat{gl}(\infty)$	6
3 Иерархия КП	15
3.1 Пары Лакса	16
3.2 Билинейное тождество Хироты	17
3.3 Соотношения Плюккера, фермионное представление	18
3.4 Гипергеометрические τ -функции	18
3.5 τ -функция чисел Гурвица	20

4	Квантовая деформация иерархии КП	21
4.1	Деформация Такасаки-Такебе	21
4.2	τ -функция чисел Гурвица	22
4.3	Гипергеометрические τ -функции	23
5	Бозонно-фермионное соответствие ВКП	23
5.1	q -полиномы Шура	23
5.2	Нейтральные фермионы и алгебра $\widehat{go(\infty)}$	23
6	Иерархия ВКП	27
6.1	Билинейное тождество ВКП	27
6.2	Соотношения Плюккера ВКП, гипергеометрические τ -функции	27
6.3	τ -функция модели БГВ	29
6.4	τ -функция спиновых чисел Гурвица	29
7	Квантовая деформация иерархии ВКП	29
7.1	τ -функция модели БГВ в фазе Концевича	29
7.2	Спиновые числа Гурвица	32
7.3	Гипергеометрические τ -функции	33
8	Заключение	34

1 Введение

Демонстрирует понимание студентом научного контекста и умение представлять свое исследование широкой аудитории, содержит постановку задачи с обзором научной литературы и с указанием предмета, целей, объектов, инструментов и значения исследования, а также актуальности работы и личного вклада автор, краткий обзор разделов ВКР.

Проще всего определить иерархию ВКП как бесконечный набор нелинейных дифференциальных уравнений, первое из которых даётся как

$$\begin{aligned}
-60 \left(\frac{\partial^2 F}{\partial t_1^2} \right)^3 - 30 \frac{\partial^4 F}{\partial t_1^4} \frac{\partial^2 F}{\partial t_1^2} + 30 \frac{\partial^2 F}{\partial t_1 \partial t_3} \frac{\partial^2 F}{\partial t_1^2} - \frac{\partial^6 F}{\partial t_1^6} + \\
+ 5 \frac{\partial^2 F}{\partial t_3^2} - 9 \frac{\partial^2 F}{\partial t_1 \partial t_5} + 5 \frac{\partial^4 F}{\partial t_1^3 \partial t_3} = 0, \quad (1.1)
\end{aligned}$$

где функция F зависит от бесконечного набора времён $\mathbf{t} = \{t_1, t_3, t_5, \dots\}$. На статсуммы и корреляторы различных квантовых систем можно смотреть как на τ функции ($\tau = \exp F$) некоторых интегрируемых иерархий. Исторически, первой была открыта иерархия Кадомцева-Петвиашвили при описании движения нелинейных волн в двумерной среде. В дальнейшем было найдено соответствие между интегрируемыми иерархиями и бесконечномерными

алгебрами Ли. Оказалось, что иерархия КП соответствует бесконечномерной алгебре Ли серии A . В свою очередь бесконечномерной алгебре Ли серии B соответствует своя интегрируемая иерархия, которая в связи с этим получила название BKP . На данный момент известно, что иерархия BKP связана с многими фундаментальными структурами современной теоретической физики, такими как, собственно, бесконечномерные алгебры Ли, матричные модели 2D гравитации, решёточные калибровочные теории КХД и др.

Было предложено ввести «постоянную Планка» \hbar в иерархию BKP и изучать бездисперсионный предел этой иерархии при $\hbar \rightarrow 0$. Этот предел можно понимать как квазиклассический предел в 2D гравитации, т. е. он согласован с разложением по родам, следующем из условий Вирасоро в двумерной квантовой гравитации. Полагая $\hbar = 1$, мы получаем классическую иерархию BKP . После введения \hbar уравнения BKP деформируются. Например, первое уравнение иерархии принимает вид

$$\begin{aligned} -60 \left(\frac{\partial^2 F^\hbar}{\partial t_1^2} \right)^3 - 30\hbar^2 \frac{\partial^4 F^\hbar}{\partial t_1^4} \frac{\partial^2 F^\hbar}{\partial t_1^2} + 30 \frac{\partial^2 F^\hbar}{\partial t_1 \partial t_3} \frac{\partial^2 F^\hbar}{\partial t_1^2} - \hbar^4 \frac{\partial^6 F^\hbar}{\partial t_1^6} + \\ + 5 \frac{\partial^2 F^\hbar}{\partial t_3^2} - 9 \frac{\partial^2 F^\hbar}{\partial t_1 \partial t_5} + 5\hbar^2 \frac{\partial^4 F^\hbar}{\partial t_1^3 \partial t_3} = 0. \quad (1.2) \end{aligned}$$

Явное введение \hbar путём масштабирования времён называют \hbar -расширением иерархии BKP , или коротко \hbar - BKP . Мы также часто будем называть это \hbar -деформацией иерархии BKP , несмотря на то, что это не деформация в общепринятом понимании этого слова. \hbar -деформация может быть явно проведена для всех элементов теории BKP : оператора Лакса, W -симметрий и элемента группы B_∞ .

Формальная \hbar - BKP страдает от недостатка явных примеров, поэтому *наша первая цель* — привести набор примеров решений \hbar - BKP , которые получаются путём добавления зависимости от \hbar в некоторые хорошо известные решения обычной BKP . Выбор этих примеров неслучаен. Будут рассмотрены решения BKP , представляющие особый интерес как для физики высоких энергий, так и для соответствующей математики: статсумма Брезана-Гросса-Виттена, производящая функция спиновых чисел Гурвица и модель Концевича.

Статсумма БГВ и модель Концевича имеют представление в виде матричных моделей. В определённой области параметров матричные модели имеют пертурбативное разложение, отдельные слагаемые в котором можно связать с фейнмановскими диаграммами. Каждая диаграмма — это ленточный граф, который можно изобразить на определённой римановой поверхности. Это естественно определяет разложение по родам (что соответствует разложению $1/N$ после подходящего масштабирования параметров матричной модели) статсуммы и корреляторов, что и является предметом изучения во многих физических теориях.

Один из подходов к нахождению разложения по родам заключается в использовании так называемых петлевых уравнений, которые являются следствием тождеств Уорда для матричных моделей и могут быть решены рекурсивно. Каждый член разложения, соответствующий поверхности старшего рода может быть явно посчитан из корреляторов поверхностей нулевого, первого и второго родов. Данные начальные условия в определенном приближении, слабо ограничивающим общность, могут быть представлены в виде алгеброгеометрической структуры на определённой римановой поверхности, которую называют спектральной кривой.

Впервые понятие спектральной кривой было введено в теории интегрируемых систем, и, поэтому, разложение по родам матричных моделей тесно связано с интегрируемыми структурами, в частности, с иерархией ВКП. Связь эта может заключаться в соответствии \hbar -деформации иерархии ВКП и разложения по родам матричных моделей. *Нашей второй целью* будет проверить это на конкретных примерах.

Тут можно еще обсудить важность БГВ, спиновых чисел Гурвица и модели Концевича.

Данная работа идейно продолжает ранее исследованное соответствие между \hbar деформацией иерархии КП и разложением по родам соответствующих матричных моделей и поэтому будет организована следующим образом.

2 Бозонно-фермионное соответствие КП

2.1 Полиномы Шура

Введём сперва несколько общепринятых обозначений, которыми будем пользоваться на протяжении всей работы

Определение. Упорядоченный набор целых неотрицательных чисел

$$\lambda_1 \geq \lambda_2 \geq \dots \geq \lambda_l \geq 0$$

будем обозначать как $\lambda = [\lambda_1, \lambda_2, \dots, \lambda_l]$ и называть его *диаграммой Юнга*.

Определение. Каждой диаграмме Юнга поставим в соответствие число

$$|\lambda| = \lambda_1 + \lambda_2 + \dots + \lambda_l.$$

Сразу отметим, что диаграмма Юнга соответствует разбиению числа $|\lambda|$ на $l(\lambda)$ чисел λ_i . Графическим представлением диаграммы Юнга называется конечный набор клеток, организованных в выровненные по левому краю ряды длин $\lambda_1, \lambda_2, \dots, \lambda_l$. Например, диаграмму $[5, 4, 4, 1]$ графически можно представить как

Определение. Диаграммы Юнга можно однозначно задать как набором длин строк $\lambda = [\lambda_1, \dots, \lambda_l]$, так и с помощью набора переменных $\alpha_i = \lambda_i - i$ и $\beta_i = \lambda'_i - i$, (см. рис. 1), где λ'_i — длина i -го столбца диаграммы Юнга λ . Второй способ называют *записью Фробениуса* и символически обозначают диаграмму Юнга как $(\alpha|\beta) = (\alpha_1, \dots, \alpha_d|\beta_1, \dots, \beta_d)$, где $d = d(\lambda)$ — количество клеток на главной диагонали диаграммы λ .

	1	2	...	α_{d-1}	α_d
1		1	...	β_{d-1}	β_d
2	1	...			
\vdots	\vdots				
β_{d-1}	β_d				
β_1					

Рис. 1: α_i и β_i в записи Фробениуса (серым цветом выделена *главная диагональ* диаграммы Юнга)

Определение. Понимая зависимость от t как зависимость от переменных t_1, t_2, \dots *полиномы Шура* $s_k(t)$ для диаграмм вида $\lambda = [k]$ даются как коэффициенты разложения

$$\exp \left(\sum_{k=1}^{\infty} t_k z^k \right) = \sum_{k=0}^{\infty} s_k(t) z^k.$$

С их помощью *полиномы Шура* $s_\lambda(t)$ для произвольных диаграмм λ определяются как

$$s_\lambda(t) = \det s_{\lambda_i - i + j}(t),$$

где определитель считается по матрице, строки в которой нумеруют индекс i , а столбцы — j , причём оба пробегают значения от 1 до $l(\lambda)$.

Для ясности приведём несколько простейших полиномов Шура

$$s_{\emptyset}(t) = 1,$$

$$s_{[1]}(t) = t_1,$$

$$s_{[2]}(t) = \frac{t_1^2}{2} + t_2, \quad s_{[1,1]}(t) = \frac{t_1^2}{2} - t_2,$$

$$s_{[3]}(t) = \frac{t_1^3}{6} + t_1 t_2 + t_3, \quad s_{[2,1]}(t) = \frac{t_1^3}{3} - t_3, \quad s_{[1,1,1]}(t) = \frac{t_1^3}{6} - t_1 t_2 + t_3.$$

Далее ещё не раз нам пригодится следующее соотношение

Утверждение (тождество Коши-Литлвуда). *Справедливо следующее равенство*

$$\sum_{\lambda} s_{\lambda}(t) s_{\lambda}(t') = \exp \left(\sum_{k=1}^{\infty} k t_k t'_k \right),$$

где суммирование в левой части ведётся по всем возможным диаграммам Юнга

В дальнейшем мы будем пользоваться введённым обозначением для суммирования по диаграммам Юнга в случаях, когда это не вызывает неоднозначности.

2.2 Пространство Фока, фермионы и алгебра $\widehat{gl(\infty)}$

Будем рассматривать *бесконечномерную алгебру Клиффорда* с генераторами $\{\psi_n, \psi_m^* \mid n, m \in \mathbb{Z}\}$, обладающими коммутационными соотношениями

$$\{\psi_n, \psi_m\} = 0, \quad \{\psi_n^*, \psi_m^*\} = 0, \quad \{\psi_n, \psi_m^*\} = \delta_{n,m}. \quad (2.1)$$

Определение. Действие генераторов алгебры на *вакуумный вектор* даётся как

$$\psi_k |0\rangle = 0, \quad k < 0; \quad \psi^* |0\rangle = 0, \quad k \geq 0. \quad (2.2)$$

То есть операторы ψ_k при $k > 0$ и ψ_k^* при $k \leq 0$ — это операторы рождения, а ψ_k при $k \leq 0$ и ψ_k^* при $k > 0$ — операторы уничтожения.

Далее определим *m-е вакуумы*

$$\psi_k |m\rangle = 0, \quad k < m; \quad \psi^* |m\rangle = 0, \quad k \geq m, \quad (2.3)$$

и *состояния*

$$|m, \lambda\rangle = \psi_{\lambda_1+m-1} \psi_{\lambda_2+m-2} \cdots \psi_{\lambda_l+m-l} |m-l\rangle. \quad (2.4)$$

Утверждение. В записи Фробениуса

$$|m, \lambda\rangle = (-1)^b \psi_{m+\alpha_1} \cdots \psi_{m+\alpha_d} \psi_{m-\beta_d-1}^* \cdots \psi_{m-\beta_1-1}^* |m\rangle, \quad (2.5)$$

где

$$b = \sum_{i=1}^d \beta_i, \quad (2.6)$$

Доказательство. В записи Фробениуса имеем

$$\begin{aligned} |m, \lambda\rangle &= \psi_{\lambda_1+m-1} \psi_{\lambda_2+m-2} \cdots \psi_{\lambda_l+m-l} |m-l\rangle = \\ &= \psi_{m+\alpha_1} \cdots \psi_{m+\alpha_d} \psi_{\lambda_{d+1}+m-(d+1)} \cdots \psi_{\lambda_l+m-l} \psi_{m-l}^* \cdots \psi_{m-1}^* |m\rangle. \end{aligned} \quad (2.7)$$

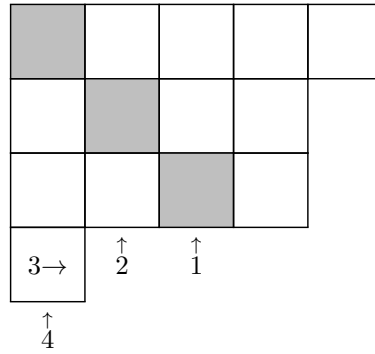


Рис. 2: Нумерация внешних рёбер диаграммы $\lambda = [5, 4, 4, 1]$

Пронумеруем внешние рёбра диаграммы λ начиная от нижнего ребра первого столбца и двигаясь против часовой стрелки числами $l, l-1, \dots, 2, 1$ (см. пример на рис. 2). Тогда вертикальные рёбра будут занумерованы числами $i - \lambda_i$, а горизонтальные — числами $\beta_i + 1$. Отсюда следует, что

$$\{i - \lambda_i\}_{i=d+1}^l = \{1, 2, \dots, l\} \setminus \{\beta_i + 1\}_{i=1}^d, \quad (2.8)$$

а также

$$\{\lambda_i + m - i\}_{i=d+1}^l = \{m - l, m - l + 1, \dots, m - 1\} \setminus \{m - \beta_i - 1\}_{i=1}^d. \quad (2.9)$$

Теперь можем переписать

$$\psi_{m-l}^* \cdots \psi_{m-1}^* = (-1)^b \psi_{\lambda_l+m-l}^* \cdots \psi_{\lambda_{d+1}+m-(d+1)}^* \psi_{m-\beta_d-1}^* \cdots \psi_{m-\beta_1-1}^*, \quad (2.10)$$

где

$$b = \sum_{i=1}^d \beta_i, \quad (2.11)$$

и, как итог,

$$|m, \lambda\rangle = (-1)^b \psi_{m+\alpha_1} \cdots \psi_{m+\alpha_d} \psi_{m-\beta_d-1}^* \cdots \psi_{m-\beta_1-1}^* |m\rangle, \quad (2.12)$$

□

Определение. Введём также *производящие функции для фермионов*

$$\psi(z) = \sum_{k \in \mathbb{Z}} \psi_k z^k, \quad \psi^*(z) = \sum_{k \in \mathbb{Z}} \psi_k^* z^{-k-1}. \quad (2.13)$$

Определение. Будем обозначать *нормальное упорядочение* фермионных операторов как $:(\dots):$. Результатом нормального упорядочения будет перемещение всех операторов уничтожения направо, а операторов рождения — налево, где каждая транспозиция двух фермионов будет производиться в согласии с антикоммутационным соотношением и, следовательно, давать множитель (-1) .

Для строгого определения пространства Фока потребуется ввести несколько дополнительных обозначений. Пусть

$$V = \bigoplus_{j \in \mathbb{Z}} \mathbb{C} v_j$$

— бесконечномерное комплексное векторное пространство с фиксированным базисом $\{v_j \mid j \in \mathbb{Z}\}$. Будем понимать v_j как вектор с единицей на j -м месте и нулями на остальных. Обозначая через \wedge внешнее произведение векторов, можем реализовать на данном пространстве наши физические состояния $|m, \lambda\rangle$ в согласии с (2.4) как

$$|m, \lambda\rangle \equiv v_{\lambda_1+m-1} \wedge v_{\lambda_2+m-2} \wedge \dots \wedge v_{\lambda_l+m-l} \wedge v_{m-l-1} \wedge v_{m-l-2} \wedge \dots$$

Линейное пространство, в котором находится данное состояние тогда будет задаваться как

$$\mathcal{F}^{(m)} = \bigwedge_{(m)}^{\infty} V.$$

Определение. *Пространством Фока* будем называть

$$\mathcal{F} = \bigoplus_{m \in \mathbb{Z}} \mathcal{F}^{(m)}.$$

Определение. Элементами алгебры $gl(\infty)$ будут бесконечномерные матрицы, у которых конечное количество диагоналей отличны от нулевых:

$$gl(\infty) = \{(a_{ij}) \mid i, j \in \mathbb{Z}, a_{ij} = 0 \text{ при } |i - j| \gg 0\}. \quad (2.14)$$

Базисом данной алгебры можно выбрать матрицы E_{ij} , у которых единственный, отличный от нуля, элемент равен 1 и находится на пересечении i -й строки и j -го столбца.

$$(E_{ij})_{kl} = \delta_{ik} \delta_{jl}. \quad (2.15)$$

Понятно, что

$$E_{ij} v_k = \delta_{jk} v_i.$$

Нетрудно получить коммутационные соотношения для данной алгебры.

Утверждение.

$$[E_{ij}, E_{kl}] = \delta_{jk}E_{il} - \delta_{il}E_{kj}.$$

Доказательство.

$$\begin{aligned} [E_{ij}, E_{kl}] &= E_{ij}E_{kl} - E_{kl}E_{ij} = \delta_{in}\delta_{jm}\delta_{km}\delta_{lp} - \delta_{kn}\delta_{lm}\delta_{im}\delta_{jp} = \\ &= \delta_{jk}E_{il} - \delta_{il}E_{kj}. \end{aligned} \quad (2.16)$$

□

Представление R группы $GL(\infty)$ (получаемой экспоненцированием $gl(\infty)$) и представление ρ алгебры Ли $gl(\infty)$ в пространстве \mathcal{F} можно задать формулами

$$R(A)(v_{i_1} \wedge v_{i_2} \wedge \dots) = Av_{i_1} \wedge Av_{i_2} \wedge \dots, \quad (2.17)$$

$$\rho(a)(v_{i_1} \wedge v_{i_2} \wedge \dots) = av_{i_1} \wedge v_{i_2} \wedge \dots + v_{i_1} \wedge av_{i_2} \wedge \dots + \dots \quad (2.18)$$

Последние две формулы связаны соотношением

$$e^{\rho(a)} = R(e^a), \quad a \in gl_\infty. \quad (2.19)$$

Утверждение. *Отображение*

$$\rho(E_{ij}) = \psi_i \psi_j^* \quad (2.20)$$

является представлением алгебры gl_∞ на введённом пространстве Фока.

Доказательство. Т. к.

$$\begin{aligned} [\psi_i \psi_j^*, \psi_k \psi_l^*] &= \psi_i \psi_j^* \psi_k \psi_l^* - \psi_k \psi_l^* \psi_i \psi_j^* = \\ &= \psi_i (\delta_{jk} - \psi_k \psi_j^*) \psi_l^* - \psi_k \psi_l^* \psi_i \psi_j^* = \\ &= \delta_{jk} \psi_i \psi_l^* - \psi_k \psi_i \psi_l^* \psi_j^* - \psi_k \psi_l^* \psi_i \psi_j^* = \\ &= \delta_{jk} \psi_i \psi_l^* - \delta_{il} \psi_k \psi_j^*. \end{aligned} \quad (2.21)$$

Следовательно скобка Ли при отображении сохраняется. □

Утверждение. *Оператор представления R элемента $A \in GL(\infty)$ в пространстве \mathcal{F} даётся как*

$$R(A) |m, \lambda\rangle = \sum_{\mu \in \text{Par}} \left(\det A_{\mu_1+m, \mu_2+m-1, \dots}^{\lambda_1+m, \lambda_2+m-1, \dots} \right) |m, \mu\rangle. \quad (2.22)$$

Доказательство. Пользуясь формулой (2.17) и стандартным исчислением внешних степеней найдём

$$\begin{aligned} R(A) (v_{i_m} \wedge v_{i_{m-1}} \wedge \dots) &= \sum_{j_m, j_{m-1}, \dots \in \mathbb{Z}} A_{j_m, i_m} v_{j_m} \wedge A_{j_{m-1}, i_{m-1}} v_{j_{m-1}} \wedge \dots = \\ &= \sum_{j_m > j_{m-1} > \dots} \left(\det A_{j_m, j_{m-1}, \dots}^{i_m, i_{m-1}, \dots} \right) v_{j_m} \wedge v_{j_{m-1}} \wedge \dots \end{aligned} \quad (2.23)$$

где $A_{j_m, j_{m-1}, \dots}^{i_m, i_{m-1}, \dots}$ означает матрицу, состоящую из элементов, стоящих на пересечении строк j_m, j_{m-1}, \dots и столбцов i_m, i_{m-1}, \dots матрицы A . □

Определение.

$$\widehat{gl(\infty)} = gl(\infty) \oplus \mathbb{C}c, \quad (2.24)$$

где $\mathbb{C}c$ называют *центром* и скобка Ли задаётся как

$$[a, b] = ab - ba + \alpha(a, b)c. \quad (2.25)$$

Функцию $\alpha(a, b)$ называют *два-коциклом*, для корректности определения скобки Ли на неё накладываются дополнительные ограничения.

Утверждение. Два-коцикл должен удовлетворять соотношению

$$\alpha(xy - yx, z) + \alpha(yz - zy, x) + \alpha(zx - xz, y) = 0, \quad (2.26)$$

а также должен быть линеен по обоим аргументам и антисимметричен.

Доказательство. • Антисимметричность скобки влечёт антисимметричность $\alpha(a, b)$.

• Линейность скобки по обоим аргументам влечёт аналогичную линейность $\alpha(a, b)$.

• Из тождества Якоби скобки

$$[[x, y], z] + [[y, z], x] + [[z, x], y] = 0 \quad (2.27)$$

следует, что

$$\begin{aligned} [xy - yx + \alpha(x, y)c, z] + [yz - zy + \alpha(y, z)c, x] + \\ + [zx - xz + \alpha(z, x)c, y] = 0 \end{aligned} \quad (2.28)$$

и, как итог,

$$\alpha(xy - yx, z) + \alpha(yz - zy, x) + \alpha(zx - xz, y) = 0. \quad (2.29)$$

□

Центрально расширенная алгебра $\widehat{gl(\infty)}$ пригодится нам для изучения нормально упорядоченных пар операторов $:\psi_i\psi_j^*:$.

Покажем, что представлением данной алгебры на пространстве Фока будет

$$\hat{\rho}(E_{ij}) = :\psi_i\psi_j^*:. \quad (2.30)$$

Определение. *Свёрткой* будем называть разность произведения операторов и их нормального упорядочения

$$\overline{\psi_i\psi_j^*} = \psi_i\psi_j^* - :\psi_i\psi_j^*:. \quad (2.31)$$

Утверждение. *Свёртка буквально равна вакуумному среднему двух операторов*

$$\overline{\psi_i\psi_j^*} = \langle 0|\psi_i\psi_j^*|0\rangle. \quad (2.32)$$

Доказательство.

$$\overline{\psi_i\psi_j^*} = \overline{\psi_i\psi_j^*} \langle 0|0\rangle = \langle 0|\overline{\psi_i\psi_j^*}|0\rangle = \langle 0|\psi_i\psi_j^* - :\psi_i\psi_j^*:.|0\rangle = \langle 0|\psi_i\psi_j^*|0\rangle. \quad (2.33)$$

□

Явное вычисление вакуумных средних даёт

$$\overline{\psi_i\psi_i^*} = 1 \quad \text{при } i < 0, \quad (2.34)$$

$$\overline{\psi_i\psi_j^*} = 0 \quad \text{во всех остальных случаях.} \quad (2.35)$$

Утверждение. *Коммутатор нормально упорядоченных пар операторов равен*

$$[:\psi_i\psi_j^*:, :\psi_k\psi_l^*:] = \delta_{jk}:\psi_i\psi_l^*:-\delta_{il}:\psi_k\psi_j^*:+\alpha(E_{ij}, E_{kl}), \quad (2.36)$$

где

$$\alpha(E_{ij}, E_{kl}) = \delta_{jk}\overline{\psi_i\psi_l^*} - \delta_{il}\overline{\psi_k\psi_j^*}, \quad (2.37)$$

Доказательство.

$$\begin{aligned} [:\psi_i\psi_j^*:, :\psi_k\psi_l^*:] &= [\psi_i\psi_j^* - \overline{\psi_i\psi_j^*}, \psi_k\psi_l^* - \overline{\psi_k\psi_l^*}] = \\ &= [\psi_i\psi_j^*, \psi_k\psi_l^*] - \delta_{jk}\overline{\psi_i\psi_l^*} + \delta_{il}\overline{\psi_k\psi_j^*} = \\ &= \delta_{jk}(:\psi_i\psi_l^*:+\overline{\psi_i\psi_l^*}) - \delta_{il}(:\psi_k\psi_j^*:+\overline{\psi_k\psi_j^*}) = \\ &= \delta_{jk}:\psi_i\psi_l^*:-\delta_{il}:\psi_k\psi_j^*:+\delta_{jk}\overline{\psi_i\psi_l^*}-\delta_{il}\overline{\psi_k\psi_j^*} = \\ &= \delta_{jk}:\psi_i\psi_l^*:-\delta_{il}:\psi_k\psi_j^*:+\alpha(E_{ij}, E_{kl}). \end{aligned} \quad (2.38)$$

□

Непосредственным вычислением из (2.37), (2.34) и (2.35) получаем, что

$$\begin{aligned}\alpha(E_{ij}, E_{ji}) &= -\alpha(E_{ji}, E_{ij}) = 1 \quad \text{при } i < 0, j \geq 0, \\ \alpha(E_{ij}, E_{kl}) &= 0 \quad \text{во всех остальных случаях.}\end{aligned}\tag{2.39}$$

Утверждение. $\alpha(E_{ij}, E_{kl})$ действительно является два-коциклом.

Доказательство. Линейность по каждому аргументу и антисимметричность $\alpha(E_{ij}, E_{kl})$ очевидны. Далее проверим условие, следующее из тождества Якоби

$$\begin{aligned}\alpha(E_{ij}E_{kl} - E_{kl}E_{ij}, E_{mn}) + \alpha(E_{kl}E_{mn} - E_{mn}E_{kl}, E_{ij}) + \\ + \alpha(E_{mn}E_{ij} - E_{ij}E_{mn}, E_{kl}) = 0,\end{aligned}\tag{2.40}$$

$$\begin{aligned}\alpha(\delta_{jk}E_{il} - \delta_{il}E_{kj}, E_{mn}) + \alpha(\delta_{lm}E_{kn} - \delta_{kn}E_{ml}, E_{ij}) + \\ + \alpha(\delta_{ni}E_{mj} - \delta_{mj}E_{in}, E_{kl}) = 0,\end{aligned}\tag{2.41}$$

$$\begin{aligned}\delta_{jk}\alpha(E_{il}, E_{mn}) - \delta_{il}\alpha(E_{kj}, E_{mn}) + \\ + \delta_{lm}\alpha(E_{kn}, E_{ij}) - \delta_{kn}\alpha(E_{ml}, E_{ij}) + \\ + \delta_{ni}\alpha(E_{mj}, E_{kl}) - \delta_{mj}\alpha(E_{in}, E_{kl}) = 0,\end{aligned}\tag{2.42}$$

$$\begin{aligned}\delta_{jk}(\delta_{lm}\overline{\psi_i\psi_n^*} - \delta_{in}\overline{\psi_m\psi_l^*}) - \delta_{il}(\delta_{jm}\overline{\psi_k\psi_n^*} - \delta_{kn}\overline{\psi_m\psi_j^*}) + \\ + \delta_{lm}(\delta_{in}\overline{\psi_k\psi_j^*} - \delta_{kj}\overline{\psi_i\psi_n^*}) - \delta_{kn}(\delta_{il}\overline{\psi_m\psi_j^*} - \delta_{mj}\overline{\psi_i\psi_l^*}) + \\ + \delta_{ni}(\delta_{jk}\overline{\psi_m\psi_l^*} - \delta_{lm}\overline{\psi_k\psi_j^*}) - \delta_{mj}(\delta_{kn}\overline{\psi_i\psi_l^*} - \delta_{il}\overline{\psi_k\psi_n^*}) = 0,\end{aligned}\tag{2.43}$$

$$0 = 0.\tag{2.44}$$

□

Определение. Операторами сдвигов будем называть

$$H_n = \sum_{k \in \mathbb{Z}} :\psi_k \psi_{k+n}^* :.\tag{2.45}$$

Производящая функция операторов сдвига тогда даётся как

$$H(t) = \sum_{k=1}^{\infty} t_k H_k.\tag{2.46}$$

Определение. Алгеброй Гейзенберга (осцилляторной алгеброй) \mathcal{A} будем называть комплексную алгебру Ли с базисом $\{a_n, n \in \mathbb{Z}; \hbar\}$ и коммутационными соотношениями

$$[\hbar, a_n] = 0, \quad [a_m, a_n] = m\delta_{m,-n}\hbar.$$

Утверждение. В фермионном пространстве Фока \mathcal{F} подалгебра Гейзенберга будет реализовываться операторами $\hat{\rho}(\delta_{i,j-n}) = H_n$.

Утверждение. В бозонном пространстве Фока $\mathcal{B} = \mathbb{C}[t_1, t_2, \dots]$ для $\mu \in \mathbb{R}$, $n \in \mathbb{N}$ реализацией алгебры Гейзенберга будет

$$a_n = \frac{\partial}{\partial t_n}, \quad a_{-n} = nt_n, \quad a_0 = \mu.$$

Следовательно, можно предположить, что существует некоторое «бозонное» представление $\hat{\rho}^B$ алгебры $\widehat{gl(\infty)}$ на пространстве \mathcal{B} , для которого выполняется ($n \in \mathbb{N}$)

$$\hat{\rho}^B(\delta_{i,j-n}) = \frac{\partial}{\partial t_n}, \quad \hat{\rho}^B(\delta_{i,j+n}) = nt_n, \quad \hat{\rho}^B(\delta_{i,j}) = \mu.$$

В рамках этого предположения связь данного представления с $\hat{\rho}$ может быть явно задана с помощью следующего определения.

Определение. Изоморфизм между описанным фермионным пространством Фока \mathcal{F} и бозонным пространством \mathcal{B} полиномов от t_1, t_2, \dots

$$\Phi : \mathcal{F} \rightarrow \mathcal{B} = \mathbb{C}[t_1, t_2, \dots] \quad (2.47)$$

задаёт бозонно-фермионное соответствие.

Как следствие, можно построить бозонные представления $\rho^B = \Phi \rho \Phi^{-1}$ и $\hat{\rho}^B = \Phi \hat{\rho} \Phi^{-1}$ на данном пространстве.

Для непосредственных вычислений полезным будет следующее свойство.

Утверждение.

$$H(t) = \sum_{k=1}^{\infty} t_k \sum_{n \in \mathbb{Z}} \psi_n \psi_{k+n}.$$

Доказательство. Имеем

$$\begin{aligned} H_n &= \sum_{k \in \mathbb{Z}} :\psi_k \psi_{k+n}^* : = \sum_{k \in \mathbb{Z}} (\psi_k \psi_{k+n}^* - \overline{\psi_k} \psi_{k+n}^*) = \\ &= \begin{cases} \sum_{k \in \mathbb{Z}} \psi_k \psi_{k+n}^*, & n \neq 0, \\ \sum_{i>0} \psi_k \psi_k^* - \sum_{i \leq 0} \psi_k^* \psi_k, & n = 0. \end{cases} \end{aligned} \quad (2.48)$$

Откуда получаем, что

$$H(t) = \sum_{k=1}^{\infty} t_k \sum_{n \in \mathbb{Z}} \psi_n \psi_{k+n}.$$

□

Утверждение. Для $n \in \mathbb{N}$

$$H_n |0\rangle = 0, \quad H_0 |0\rangle \sim |0\rangle,$$

а состояния вида

$$H_{-1}^{k_1} \cdots H_{-n}^{k_n} |0\rangle$$

линейно независимы.

Утверждение. Вакуумным вектором в пространстве \mathcal{B} может быть выбрана единица.

Доказательство. Т. к. для $n \in \mathbb{N}$ $a_n(1) = 0$, состояния вида $a_{-1}^{k_1} \cdots a_{-n}^{k_n} \cdot 1$ линейно независимы, а $a_0(1) = \mu$. \square

Утверждение. Бозонно-фермионное соответствие явно задаётся как

$$\Phi(|\lambda\rangle) = s_\lambda(t).$$

Доказательство. Линейность представления позволяет записать

$$H_n = \sum_{k \in \mathbb{Z}} :\psi_k \psi_{k+n}^* : = \sum_{k \in \mathbb{Z}} \hat{\rho}(E_{k,k+n}) = \hat{\rho}\left(\sum_{k \in \mathbb{Z}} \delta_{ik} \delta_{j,k+n}\right) = \hat{\rho}(\delta_{i,j-n}). \quad (2.49)$$

Откуда

$$H(t) = \sum_{k=1}^{\infty} t_k H_k = \sum_{k=1}^{\infty} t_k \hat{\rho}(\delta_{i,j-k}) = \hat{\rho}\left(\sum_{k=1}^{\infty} t_k \delta_{i,j-k}\right). \quad (2.50)$$

Необходимо, чтобы отображение бозонно-фермионного соответствия удовлетворяло тождеству

$$\Phi\left[\exp\left(\sum_{k \geq 1} \eta_k H_k\right) |\lambda\rangle\right] = \hat{R}^B\left[\exp\left(\sum_{k \geq 1} \eta_k \delta_{i,j-k}\right)\right] \Phi(|\lambda\rangle),$$

где подразумевается, что $\Phi(|\lambda\rangle) = \Phi(|\lambda\rangle)(t)$. Имеем

$$\hat{R}^B\left[\exp\left(\sum_{k \geq 1} \eta_k \delta_{i,j-k}\right)\right] = \exp\left[\sum_{k \geq 1} \eta_k \hat{\rho}^B(\delta_{i,j-k})\right] = \exp\left(\sum_{k \geq 1} \eta_k \frac{\partial}{\partial t_k}\right).$$

Правая часть тождества тогда

$$\hat{R}^B\left[\exp\left(\sum_{k \geq 1} \eta_k \delta_{i,j-k}\right)\right] \Phi(|\lambda\rangle) = \Phi(|\lambda\rangle)(t + \eta).$$

В левой же части

$$\begin{aligned} \exp \left(\sum_{k \geq 1} \eta_k H_k \right) &= \exp \left[\hat{\rho} \left(\sum_{k=1}^{\infty} \eta_k \delta_{i,j-k} \right) \right] = \hat{R} \left[\exp \left(\sum_{k=1}^{\infty} \eta_k \delta_{i,j-k} \right) \right] = \\ &= \hat{R} \left[\exp \left(\sum_{k=1}^{\infty} \eta_k \delta_{i,j-1}^k \right) \right] = \hat{R} \left[\sum_{k=1}^{\infty} s_k(\eta) \delta_{i,j-k} \right] \equiv \hat{R}(A). \end{aligned} \quad (2.51)$$

Элемент введённой матрицы A , находящийся на пересечении i -й строки и j -го столбца тем самым принимает вид

$$A_{ij} = s_{j-i}(\eta).$$

Имеем

$$\begin{aligned} \Phi \left[\exp \left(\sum_{k \geq 1} \eta_k H_k \right) |\lambda\rangle \right] &= \Phi \left[\sum_{\mu \in \text{Par}} \det \left(A_{\mu_1+m, \mu_2+m-1, \dots}^{\lambda_1+m, \lambda_2+m-1, \dots} \right) |\mu\rangle \right] = \\ &= \sum_{\mu \in \text{Par}} \det \left(A_{\mu_1+m, \mu_2+m-1, \dots}^{\lambda_1+m, \lambda_2+m-1, \dots} \right) \Phi(|\mu\rangle). \end{aligned} \quad (2.52)$$

Теперь можем рассмотреть случай $t = 0$, тогда, используя то, что $\Phi(|\mu\rangle)|_{t=0} = 0$ для всех состояний, отличных от вакуумного, получаем

$$\det \left(A_{m, m-1, \dots}^{\lambda_1+m, \lambda_2+m-1, \dots} \right) = \Phi(|\lambda\rangle)(\eta).$$

$$\det s_{\lambda_i-i+j}(\eta) = \Phi(|\lambda\rangle)(\eta).$$

$$s_{\lambda}(\eta) = \Phi(|\lambda\rangle)(\eta).$$

$$\Phi(|\lambda\rangle) = s_{\lambda}(t).$$

Также в ходе доказательства было получено соотношение

$$\Phi(|\lambda\rangle) = \langle 0 | e^{H(t)} | \lambda \rangle.$$

□

3 Иерархия КП

Иерархия КП — бесконечный набор нелинейных дифференциальных уравнений, первое из которых даётся как

$$\frac{1}{4} \frac{\partial^2 F}{\partial t_2^2} = \frac{1}{3} \frac{\partial^2 F}{\partial t_1 \partial t_3} - \frac{1}{2} \left(\frac{\partial^2 F}{\partial t_1^2} \right)^2 - \frac{1}{12} \frac{\partial^4 F}{\partial t_1^4}. \quad (3.1)$$

Далее будут обсуждаться экспоненцированные решения данной иерархии (τ -функции) $\tau(t) = \exp(F(t))$. В разделах 3.1 и 3.2 опишем методы получения уравнений данной иерархии.

3.1 Пары Лакса

Для псевдодифференциального оператора

$$L = \partial + \sum_{j=1}^{\infty} f_j \partial^{-j}, \quad \text{где} \quad \partial = \frac{\partial}{\partial t_1}, \quad (3.2)$$

условия совместности системы линейных уравнений

$$\begin{cases} Lw = kw, \\ \frac{\partial w}{\partial t_j} = B_j w, \end{cases} \quad \text{где} \quad B_j = (L^j)_+. \quad (3.3)$$

могут быть записаны в Лаксовой форме

$$\frac{\partial L}{\partial t_j} = [B_j, L]. \quad (3.4)$$

Из второго уравнения данной иерархии получаем

$$\frac{\partial f_1}{\partial t_2} = \frac{\partial^2 f_1}{\partial t_1^2} + 2 \frac{\partial f_2}{\partial t_1}, \quad \frac{\partial f_2}{\partial t_2} = \frac{\partial^2 f_2}{\partial t_1^2} + 2 \frac{\partial f_3}{\partial t_1} + 2 \frac{\partial f_1}{\partial t_1} f_1, \quad \dots \quad (3.5)$$

Из третьего —

$$\frac{\partial f_1}{\partial t_3} = \frac{\partial^3 f_1}{\partial t_1^3} + 3 \frac{\partial^2 f_2}{\partial t_1^2} + 3 \frac{\partial f_3}{\partial t_1} + 6 \frac{\partial f_1}{\partial t_1} f_1, \quad \dots \quad (3.6)$$

Устраняя f_2 и f_3 из данных уравнений и пользуясь обозначениями $u = -2f_1$, получаем *уравнение КП*

$$3 \frac{\partial^2 u}{\partial t_2^2} = \frac{\partial}{\partial t_1} \left(4 \frac{\partial u}{\partial t_3} + 6u \frac{\partial u}{\partial t_1} - \frac{\partial^3 u}{\partial t_1^3} \right). \quad (3.7)$$

Требует пояснений введённое обозначение для u . Решение первоначальной задачи на собственные значения можно искать в виде

$$w = e^{\xi(\mathbf{t}, k)} \left(1 + \frac{w_1}{k} + \frac{w_2}{k^2} + \dots \right), \quad \text{где} \quad \xi(\mathbf{t}, k) = \sum_{j=1}^{\infty} t_j k^j. \quad (3.8)$$

Тогда связь между w_i и f_i может быть найдена, например, из уравнений

$$\frac{\partial w}{\partial t_j} = B_j w. \quad (3.9)$$

Из уравнения на t_1 получаем

$$\frac{\partial w_1}{\partial t_1} = -f_1, \quad \dots \quad (3.10)$$

Оказывается, что все функции w_1, w_2, \dots могут быть выражены через одну функцию τ по формуле

$$w = \frac{\tau \left(t_1 - \frac{1}{k}, t_2 - \frac{1}{2k^2}, t_3 - \frac{1}{3k^3}, \dots \right)}{\tau(t_1, t_2, t_3, \dots)} e^{\xi(\mathbf{t}, k)}. \quad (3.11)$$

Откуда, например,

$$w_1 = -\frac{\partial \tau}{\partial t_1} \cdot \tau^{-1}. \quad (3.12)$$

Иерархия КдФ получается из иерархии КП условием $L^2 = \partial^2 + u$ и бесконечный набор функций f_i выражается через u . Таким же свойством обладает τ -функция, между ними имеется связь

$$u = 2 \frac{\partial^2}{\partial t_1^2} \ln \tau. \quad (3.13)$$

Обозначение $u = -2f_1$ теперь поясняется формулами (3.10), (3.12), (3.13). Также, интегрируя два раза по t_1 уравнение (3.7) и принимая во внимание обозначение для F , получаем в точности уравнение (3.1).

3.2 Билинейное тождество Хироты

Определение. Производные хироты $D_1^{n_1} \dots D_m^{n_m}$ задаются из соотношения

$$e^{y_1 D_1 + y_2 D_2 + \dots} f \cdot g = f(x_1 + y_1, x_2 + y_2, \dots) g(x_1 - y_1, x_2 - y_2, \dots). \quad (3.14)$$

Утверждение (билинейное тождество). Для любых x и x' положим

$$\xi = \xi(\mathbf{t}, k), \quad \xi' = \xi(\mathbf{t}', k). \quad (3.15)$$

Тогда справедливо следующее тождество:

$$0 = \oint \frac{dk}{2\pi i} e^{\xi - \xi'} \tau \left(t_1 - \frac{1}{k}, t_2 - \frac{1}{2k^2}, \dots \right) \tau \left(t'_1 + \frac{1}{k}, t'_2 + \frac{1}{2k^2}, \dots \right). \quad (3.16)$$

Уравнения КП получаются из билинейного тождества после замены $t_j = x_j + y_j$, $t'_j = x_j - y_j$:

$$\begin{aligned} & \oint \frac{dk}{2\pi i} \exp \left(2 \sum_{j=1}^{\infty} k^j y_j \right) \tau \left(x_1 + y_1 - \frac{1}{k}, x_2 + y_2 - \frac{1}{2k^2}, \dots \right) \times \\ & \quad \times \tau \left(x_1 - y_1 + \frac{1}{k}, x_2 - y_2 + \frac{1}{2k^2}, \dots \right) = \\ & = \oint \frac{dk}{2\pi i} \exp \left(2 \sum_{j=1}^{\infty} k^j y_j \right) \exp \left(\sum_{j=1}^{\infty} \left(y_j - \frac{1}{jk^j} \right) D_j \right) \tau \cdot \tau. \end{aligned} \quad (3.17)$$

Раскладывая подынтегральную функцию в ряд по степеням y_j и вычисляя коэффициент при k^{-1} , получаем уравнения КП. Например

$$(D_1^4 + 3D_2^2 - 4D_1D_3)\tau \cdot \tau = 0, \quad (D_1^3D_2 + 2D_2D_3 - 3D_1D_4)\tau \cdot \tau = 0. \quad (3.18)$$

Первое из них — буквально (3.1) с учётом определения F .

3.3 Соотношения Плюккера, фермионное представление

Решения данной иерархии могут быть разложены по базису полиномов Шура

$$\tau(t) = \sum_{\lambda} C_{\lambda} s_{\lambda}(t). \quad (3.19)$$

Можно показать, что $\tau(t)$ — решение иерархии КП тогда и только тогда, когда коэффициенты C_{λ} удовлетворяют соотношениям Плюккера, первое из которых

$$C_{[2,2]}C_{[\emptyset]} - C_{[2,1]}C_{[1]} + C_{[2]}C_{[1,1]} = 0. \quad (3.20)$$

Пусть $\hat{R}(G)$ — оператор на пространстве Фока, являющийся представлением элемента G группы $\widehat{GL(\infty)}$. Рассмотрим выражение

$$\begin{aligned} \langle 0 | e^{H(t)} \hat{R}(G) | 0 \rangle &= \langle 0 | e^{H(t)} \sum_{\lambda \in \text{Par}} \det \left(G_{\lambda_1, \lambda_2-1, \dots}^{0, -1, \dots} \right) | \mu \rangle = \\ &= \sum_{\lambda \in \text{Par}} \det \left(G_{\lambda_1, \lambda_2-1, \dots}^{0, -1, \dots} \right) \langle 0 | e^{H(t)} | \lambda \rangle = \sum_{\lambda \in \text{Par}} \det \left(G_{\lambda_1, \lambda_2-1, \dots}^{0, -1, \dots} \right) s_{\lambda}(t). \end{aligned} \quad (3.21)$$

Сравнивая с τ -функцией в бозонном представлении (3.19) можно получить, что

$$\tau(t) = \langle 0 | e^{H(t)} \hat{R}(G) | 0 \rangle \quad \text{при} \quad C_{\lambda} = \det \left(G_{\lambda_1, \lambda_2-1, \dots}^{0, -1, \dots} \right). \quad (3.22)$$

Такой способ записи τ -функций будем называть *фермионным представлением*.

3.4 Гипергеометрические τ -функции

Имеется очень важный подкласс решений иерархии КП, который включает множество физических примеров — гипергеометрические τ -функции. Они ограничены особым видом элемента G группы $\widehat{GL(\infty)}$, а именно в фермионном представлении задаются как

$$\tau(t) = \langle 0 | e^{H(t)} e^{A(\beta)} | 0 \rangle.$$

$$A(\beta) = \sum_{k=1}^{\infty} \beta_k A_k, \quad A_k = \oint \frac{dz}{2\pi i} : \left[\left(\frac{1}{z} r(D) \right)^k \psi(z) \right] \cdot \psi^*(z) :, \quad (3.23)$$

где $D = z \frac{\partial}{\partial z}$. Данный оператор действует на степени z следующим образом

$$D^n z^k = D^{n-1} z \frac{\partial}{\partial z} z^k = k D^{n-1} z^k = k^n z^k. \quad (3.24)$$

Функция от дифференциального оператора D понимается в смысле ряда Тейлора этой функции в окрестности нуля

$$\begin{aligned} \frac{1}{z} r(D) \psi(z) &= \frac{1}{z} \sum_{n=0}^{\infty} \frac{r^{(n)}(0)}{n!} D^n \sum_{k \in \mathbb{Z}} \psi_k z^k = \sum_{n=0}^{\infty} \sum_{k \in \mathbb{Z}} \frac{r^{(n)}(0)}{n!} \psi_k k^n z^{k-1} = \\ &= \sum_{k \in \mathbb{Z}} r(k) \psi_k z^{k-1}. \end{aligned} \quad (3.25)$$

При $k = 2$ получаем

$$\begin{aligned} \frac{1}{z} r(D) \frac{1}{z} r(D) &= \frac{1}{z} \sum_{n=0}^{\infty} \frac{r^{(n)}(0)}{n!} D^n \frac{1}{z} \sum_{k=0}^{\infty} \frac{r^{(k)}(0)}{k!} D^k = \\ &= \frac{1}{z} \sum_{n=0}^{\infty} \frac{r^{(n)}(0)}{n!} \sum_{i=0}^n \binom{n}{i} \left(D^{n-i} \frac{1}{z} \right) \sum_{k=0}^{\infty} \frac{r^{(k)}(0)}{k!} D^{k+i} = \\ &= \frac{1}{z^2} \sum_{n=0}^{\infty} \frac{r^{(n)}(0)}{n!} \sum_{i=0}^n \binom{n}{i} (-1)^{n-i} \sum_{k=0}^{\infty} \frac{r^{(k)}(0)}{k!} D^{k+i} = \\ &= \frac{1}{z^2} \sum_{n=0}^{\infty} \frac{r^{(n)}(0)}{n!} (D-1)^n \sum_{k=0}^{\infty} \frac{r^{(k)}(0)}{k!} D^k = \frac{1}{z^2} r(D-1) r(D). \end{aligned} \quad (3.26)$$

Для любой степени k нетрудно получить по индукции общий результат и тогда

$$\begin{aligned} \left[\left(\frac{1}{z} r(D) \right)^k \psi(z) \right] \cdot \psi^*(z) &= \\ &= \sum_{n \in \mathbb{Z}} r(n) r(n-1) \cdots r(n-k+1) \psi_n z^{n-k} \sum_{j \in \mathbb{Z}} \psi_j^* z^{-j-1}. \end{aligned} \quad (3.27)$$

После чего можем получить альтернативный, более простой для непосредственных вычислений, способ записи A_k

$$A_k = \sum_{n \in \mathbb{Z}} : \psi_n \psi_{n-k} : \prod_{i=0}^{k-1} r(n-i). \quad (3.28)$$

В бозонном представлении оказывается, что гипергеометрические τ -функции КП имеют вид

$$\tau(t) = \sum_{\lambda} r_{\lambda} s_{\lambda}(\beta) s_{\lambda}(t), \quad (3.29)$$

где $s_{\lambda}(\beta)$ — полином Шура от переменных β_k ,

$$r_{\lambda} = \prod_{w \in \lambda} r(c(w)), \quad (3.30)$$

$$c(w) = j - i, \quad 1 \leq i \leq l(\lambda), \quad 1 \leq j \leq \lambda_i. \quad (3.31)$$

Визуализация функции $c(w)$ на диаграмме Юнга:

0	1	2	3
-1	0	1	
-2	-1		

3.5 τ -функция чисел Гурвица

Производящая функция простых чисел Гурвица

$$\tau_H(t) = \sum_{m=0}^{\infty} \sum_{\mu} h_{m;\mu}^{\circ} t_{\mu_1} t_{\mu_2} \cdots t_{\mu_{l(\mu)}} \frac{u^m}{m!}, \quad (3.32)$$

где

$$h_{m;\mu}^{\circ} = \frac{1}{|\mu|!} \left| \left\{ (\eta_1, \dots, \eta_m), \eta_i \in C_2(S_{|\mu|}) : \eta_m \circ \cdots \circ \eta_1 \in C_{\mu}(S_{|\mu|}) \right\} \right|, \quad (3.33)$$

$S_{|\mu|}$ — симметрическая группа перестановок μ элементов, $C_2(S_{|\mu|})$ — множество всех транспозиций в $S_{|\mu|}$ и $C_{\mu}(S_{|\mu|})$ — множество всех перестановок циклического типа μ .

Можно показать, что

$$\tau_H(t) = \sum_{\lambda} e^{uc(\lambda)} s_{\lambda}(\beta_k = \delta_{k,1}) s_{\lambda}(t), \quad (3.34)$$

где $c(\lambda) = \sum_{w \in \lambda} c(w)$. То есть данная производящая функция — гипергеометрическая τ -функция с параметрами

$$r(n) = e^{un}, \quad \beta_1 = 1, \quad \beta_k = 0, \quad k \geq 2. \quad (3.35)$$

4 Квантовая деформация иерархии КП

4.1 Деформация Такасаки-Такебе

\hbar -формулировка иерархии КП была введена Такасаки и Такебе путём добавления формального параметра \hbar в уравнения иерархии. Главной целью было исследовать бездисперсионную иерархию КП в пределе $\hbar \rightarrow 0$. Существование такого предела влечёт дополнительные ограничения на свободную энергию F : параметр \hbar должен быть добавлен в логарифм τ -функции «правильно» — F не должна содержать отрицательных степеней \hbar . Связь между свободной энергией и τ -функцией в деформированной иерархии даётся как

$$F(t) = \hbar^2 \ln \tau(t).$$

Уравнения \hbar -деформированной иерархии КП получаются из иерархии КП заменой $t_k \rightarrow t_k/\hbar$. Первое уравнение деформированной иерархии

$$\frac{1}{4} \frac{\partial^2 F}{\partial t_2^2} = \frac{1}{3} \frac{\partial^2 F}{\partial t_1 \partial t_3} - \frac{1}{2} \left(\frac{\partial^2 F}{\partial t_1^2} \right)^2 - \frac{\hbar^2}{12} \frac{\partial^4 F}{\partial t_1^4}. \quad (4.1)$$

τ -функции иерархии \hbar -КП

$$\tau(t) = \sum_{\lambda} C_{\lambda} s_{\lambda} \left(\frac{t}{\hbar} \right), \quad (4.2)$$

где C_{λ} удовлетворяют соотношениям Плюкера.

Первое уравнение бездисперсионной ($\hbar \rightarrow 0$) иерархии принимает вид

$$\frac{1}{4} \frac{\partial^2 F}{\partial t_2^2} = \frac{1}{3} \frac{\partial^2 F}{\partial t_1 \partial t_3} - \frac{1}{2} \left(\frac{\partial^2 F}{\partial t_1^2} \right)^2.$$

Согласно Такасаки и Такебе τ -функции с «хорошим» квазиклассическим поведением имеют вид

$$\tau(t) = \langle 0 | e^{H(t)} e^{A(\beta)} | 0 \rangle.$$

$$A(\beta) = \sum_{k=1}^{\infty} \beta_k A_k, \quad A_k = \frac{1}{\hbar} \oint \frac{dz}{2\pi i} : \left(\frac{1}{z} r_k(\hbar D) \psi(z) \right) \cdot \psi^*(z) :, \quad (4.3)$$

где, как и прежде, $D = z \frac{\partial}{\partial z}$.

Заметим, что масштабированием времён $t_k \rightarrow \frac{t_k}{\hbar}$ любой τ -функции КП можно получить решение \hbar -КП. Однако такой простой деформацией можно получить функцию F , которая не будет удовлетворять требуемым свойствам. Нетривиальная деформация может быть получена, когда параметр \hbar также присутствует в деформированных коэффициентах Плюкера C_{λ} . В фермионном представлении мы знаем как деформировать τ -функции так, чтобы

функции $F(t)$ могли иметь корректный квазиклассический предел. Более того, полученные функции могут иметь явную геометрическую структуру, например, разложение по родам. Тем не менее, описанная деформация не даёт рецепта, как деформировать произвольную τ -функцию, чтобы получить хорошее квазиклассическое поведение.

4.2 τ -функция чисел Гурвица

Формула Римана-Гурвица

$$2g - 2 = m - |\mu| - l(\mu), \quad (4.4)$$

позволяет нам разделить вклады различных родов g в производящую функцию. Каждая точка простого ветвления даёт вклад $+1$ к степени \hbar , каждый цикл длины μ_i даёт вклад $-\mu_i - 1$ к степени \hbar . Получаем замену переменных

$$t_{\mu_i} \rightarrow \hbar^{-\mu_i-1} t_{\mu_i}, \quad u \rightarrow \hbar u. \quad (4.5)$$

Умножая производящую функцию на \hbar^2 , чтобы избавиться от отрицательных степеней \hbar в разложении, получаем

$$F_H^\hbar(t) = \sum_{g=0}^{\infty} \hbar^{2g} F_H^g(t). \quad (4.6)$$

Покажем, что разложением по родам (4.5) τ -функции иерархии КП (3.34) действительно можно получить τ -функцию иерархии \hbar -КП (4.2). Имеем

$$\tau_H^\hbar(t) = \sum_{\lambda} e^{u\hbar c(\lambda)} s_{\lambda}(\beta_k = \delta_{k,1}) s_{\lambda}\left(\frac{t_1}{\hbar^2}, \frac{t_2}{\hbar^3}, \dots\right). \quad (4.7)$$

Можно показать, что

$$\tau_H^\hbar(t) = \sum_{\lambda} e^{u\hbar c(\lambda)} s_{\lambda}\left(\frac{1}{\hbar}, 0, 0, \dots\right) s_{\lambda}\left(\frac{t}{\hbar}\right) \quad (4.8)$$

и что коэффициенты

$$C_{\lambda}^{\hbar} = e^{u\hbar c(\lambda)} s_{\lambda}\left(\beta_k = \frac{\delta_{k,1}}{\hbar}\right) \quad (4.9)$$

удовлетворяют соотношениям Плюкера. Это показывает, что \hbar -деформацией мы получаем τ -функцию иерархии \hbar -КП.

4.3 Гипергеометрические τ -функции

Числа Гурвица — это один из примеров гипергеометрических τ -функций КП. Также к ним относятся статсуммы эрмитовой матричной модели и модели БГВ в фазе характеров. Оказывается, что для всех них правильной деформацией, согласующейся с разложением по родам и «хорошим» квазиклассическим поведением будет

$$\begin{cases} r(n) \rightarrow r(\hbar n), \\ \beta_n \rightarrow \frac{\beta_n}{\hbar}, \\ t_n \rightarrow \frac{t_n}{\hbar}. \end{cases}$$

5 Бозонно-фермионное соответствие ВКП

5.1 q -полиномы Шура

Обычным полиномам Шура в ВКП соответствуют q -полиномы Шура. Для их определения потребуется ввести производящую функцию полиномов $P_{n,m}$:

$$\sum_{n,m=0}^{\infty} P_{n,m} z_1^n z_2^m = \left[\exp \left(2 \sum_{k=0}^{\infty} t_{2k+1} (z_1^{2k+1} + z_2^{2k+1}) \right) - 1 \right] \frac{z_1 - z_2}{z_1 + z_2}.$$

Из этого определения очевидно, что $P_{n,m}$ — антисимметричны. Определим антисимметричную матрицу

$$(M_\lambda(t))_{i,j} = P_{\lambda_i, \lambda_j}(t)$$

для случая, когда $l(\lambda)$ — нечётное. Если же $l(\lambda)$ — чётное, то будем добавлять к этой матрице одну строку $P_{0, \lambda_j}(t)$ (как будто мы добавили к диаграмме Юнга ещё одну строку длины 0). Окончательно, q -полиномы Шура определяются как

$$q_\lambda(t) = 2^{-l/2} \text{Pf } M_\lambda(t) \equiv 2^{-l/2} \sqrt{\det M_\lambda(t)}.$$

5.2 Нейтральные фермионы и алгебра $\widehat{go(\infty)}$

Нейтральные фермионы определяются как

$$\phi_m = \frac{\psi_m + (-1)^m \psi_{-m}^*}{\sqrt{2}}, \quad (5.1)$$

$$\phi_m^* = \frac{\psi_m^* + (-1)^m \psi_{-m}}{\sqrt{2}}. \quad (5.2)$$

Откуда сразу можно заметить что

$$\phi_m^* = (-1)^m \phi_{-m}. \quad (5.3)$$

Благодаря этому свойству далее мы можем ограничиться рассмотрением лишь фермионов ϕ_m . Прямой подстановкой можно получить каноническое коммутационное соотношение нейтральных фермионов

$$\{\phi_k, \phi_m\} = (-1)^k \delta_{k+m,0}, \quad (5.4)$$

а также их действие на вакуум «моря Дирака»

$$\phi_m |0\rangle = 0, \quad \langle 0| \phi_{-m} = 0, \quad m < 0. \quad (5.5)$$

Множеством строгих разбиений $\text{SP} \subset \text{Par}$ будем называть множество таких $\lambda \in \text{Par}$, для которых выполнено $\lambda_1 > \lambda_2 \dots > \lambda_l$.

Для разбиений $\lambda \in \text{SP}$ определим состояния

$$|\lambda\rangle = \begin{cases} \phi_{\lambda_1} \phi_{\lambda_2} \dots \phi_{\lambda_l} |0\rangle, & l = 0 \pmod{2}, \\ \sqrt{2} \phi_{\lambda_1} \phi_{\lambda_2} \dots \phi_{\lambda_l} \phi_0 |0\rangle, & l = 1 \pmod{2}. \end{cases} \quad (5.6)$$

Такое же определение для $\lambda \notin \text{SP}$ очевидно влечёт $|\lambda\rangle = 0$ и любое суммирование по разбиениям $\lambda \in \text{Par}$ сводится к суммированию по $\lambda \in \text{SP}$.

Введём также производящую функцию нейтральных фермионов

$$\phi(z) = \sum_{k \in \mathbb{Z}} \phi_k z^k. \quad (5.7)$$

Коммутационные соотношениям билинейных комбинаций нейтральных фермионов $\phi_k \phi_m$

$$\begin{aligned} [\phi_a \phi_b, \phi_c \phi_d] &= \phi_a \phi_b \phi_c \phi_d - \phi_c \phi_d \phi_a \phi_b = \phi_a \left((-1)^b \delta_{b+c,0} - \phi_c \phi_b \right) \phi_d - \\ &- \phi_c \left((-1)^a \delta_{a+d,0} - \phi_a \phi_d \right) \phi_b = (-1)^b \delta_{b+c,0} \phi_a \phi_d - \left((-1)^a \delta_{a+c,0} - \phi_c \phi_a \right) \phi_b \phi_d - \\ &- (-1)^a \delta_{a+d,0} \phi_c \phi_b + \phi_c \phi_a \left((-1)^b \delta_{b+d,0} - \phi_b \phi_d \right) = (-1)^b \delta_{b+c,0} \phi_a \phi_d - \\ &- (-1)^a \delta_{a+c,0} \phi_b \phi_d + (-1)^b \delta_{b+d,0} \phi_c \phi_a - (-1)^a \delta_{a+d,0} \phi_c \phi_b. \end{aligned} \quad (5.8)$$

Элементами матричной алгебры Ли $go(\infty)$ являются матрицы

$$F_{k,m} = (-1)^m E_{k,-m} - (-1)^k E_{m,-k}. \quad (5.9)$$

Их коммутационные соотношения

$$\begin{aligned} [F_{a,b}, F_{c,d}] &= (-1)^{b+d} [E_{a,-b}, E_{c,-d}] - (-1)^{b+c} [E_{a,-b}, E_{d,-c}] - \\ &- (-1)^{a+d} [E_{b,-a}, E_{c,-d}] + (-1)^{a+c} [E_{b,-a}, E_{d,-c}] = \\ &= (-1)^{b+d} (\delta_{b+c,0} E_{a,-d} - \delta_{a+d,0} E_{c,-b}) - (-1)^{b+c} (\delta_{b+d,0} E_{a,-c} - \delta_{a+c,0} E_{d,-b}) - \\ &- (-1)^{a+d} (\delta_{a+c,0} E_{b,-d} - \delta_{b+d,0} E_{c,-a}) + (-1)^{a+c} (\delta_{a+d,0} E_{b,-c} - \delta_{b+c,0} E_{d,-a}) = \\ &= (-1)^b \delta_{b+c,0} F_{a,d} - (-1)^a \delta_{a+c} F_{b,d} + (-1)^b \delta_{b+d,0} F_{c,a} - (-1)^a \delta_{a+d,0} F_{c,b} \end{aligned} \quad (5.10)$$

совпадают с коммутационными соотношениями билинейных комбинаций нейтральных фермионов. Значит представление алгебры $go(\infty)$ может быть реализовано на введённом пространстве Φ ока элементами $\phi_k \phi_m$.

Нормальное упорядочение на этот раз определим как

$$:\phi_k \phi_m: = \phi_k \phi_m - \langle 0 | \phi_k \phi_m | 0 \rangle. \quad (5.11)$$

Легко видеть, что

$$\langle 0 | \phi_k \phi_m | 0 \rangle = \delta_{k+m,0} \eta[m], \quad (5.12)$$

где

$$\eta[m] = \begin{cases} 0, & m < 0, \\ \frac{1}{2}, & m = 0, \\ (-1)^m, & m > 0. \end{cases} \quad (5.13)$$

Коммутационное соотношение алгебры нормально упорядоченных пар нейтральных фермионов

$$\begin{aligned} [:\phi_a \phi_b:, :\phi_c \phi_d:] &= (-1)^b \delta_{b+c,0} :\phi_a \phi_d: - (-1)^a \delta_{a+c,0} :\phi_b \phi_d: + (-1)^b \delta_{b+d,0} :\phi_c \phi_a: - \\ &- (-1)^a \delta_{a+d,0} :\phi_c \phi_b: + (\delta_{c,b} \delta_{a,d} - \delta_{a-c,0} \delta_{b-d,0}) \left((-1)^a \eta[b] - (-1)^b \eta[a] \right). \end{aligned} \quad (5.14)$$

Введём операторы

$$J_k = \frac{1}{2} \sum_{m \in \mathbb{Z}} (-1)^{m+1} :\phi_m \phi_{-m-k}:. \quad (5.15)$$

Заметим, что

$$J_0 = \frac{1}{2} \left(\sum_{m < 0} (\phi_m \phi_{-m} - (-1)^m) + \phi_0^2 - \frac{1}{2} + \sum_{m > 0} \phi_m \phi_{-m} \right) = 0. \quad (5.16)$$

И тогда

$$J_k = \begin{cases} \frac{1}{2} \sum_{m \in \mathbb{Z}} (-1)^{m+1} \phi_m \phi_{-m-k}, & k \neq 0, \\ 0, & k = 0, \end{cases} \quad (5.17)$$

Пусть $k \neq 0$ — чётное число, тогда

$$\begin{aligned}
J_k &= \frac{1}{2} \left(\sum_{m \geq -k/2} (-1)^{m+1} \phi_m \phi_{-m-k} + \sum_{m < -k/2} (-1)^{m+1} \phi_m \phi_{-m-k} \right) = \\
&= \frac{1}{2} \left(\sum_{m \geq 0} (-1)^{m-k/2+1} \phi_{m-k/2} \phi_{-m-k/2} + \right. \\
&\quad \left. + \sum_{m > 0} (-1)^{m+k/2+1} \phi_{-m-k/2} \phi_{m-k/2} \right) = \\
&= \frac{1}{2} \left(\phi_{-k/2}^2 + \sum_{m > 0} (-1)^{m+k/2+1} (-1)^{-m-k/2} \delta_{-k,0} \right) = 0. \quad (5.18)
\end{aligned}$$

Для нечётных же k

$$\begin{aligned}
J_k &= \frac{1}{2} \left(\sum_{m \geq -(k-1)/2} (-1)^{m+1} \phi_m \phi_{-m-k} + \sum_{m \leq -(k+1)/2} (-1)^{m+1} \phi_m \phi_{-m-k} \right) = \\
&= \frac{1}{2} \left(\sum_{m \geq 0} (-1)^{m+(k+1)/2} \phi_{m-(k-1)/2} \phi_{-m-(k+1)/2} + \right. \\
&\quad \left. + \sum_{m \geq 0} (-1)^{m+(k-1)/2} \phi_{-m-(k+1)/2} \phi_{m-(k-1)/2} \right) = \\
&= \sum_{m \geq 0} (-1)^{m+(k+1)/2} \phi_{m-(k-1)/2} \phi_{-m-(k+1)/2}. \quad (5.19)
\end{aligned}$$

Поэтому далее будет подразумеваться что J_k имеют лишь нечётные индексы. Коммутатор данных операторов

$$[J_k, J_m] = \frac{1}{4} \sum_{i,j \in \mathbb{Z}} (-1)^{i+j+2} [\phi_i \phi_{-i-k}, \phi_j \phi_{-j-k}] \stackrel{\text{TODO}}{=} \frac{k}{2} \delta_{k+m,0}. \quad (5.20)$$

Для них выполнено

$$J_m |0\rangle = 0, \quad \langle 0| J_{-m} = 0, \quad m > 0. \quad (5.21)$$

Определим также производящую функцию данных операторов

$$J(t) = \sum_{k \in \mathbb{Z}_{\text{неч}}^+} t_k J_k. \quad (5.22)$$

Как и в случае иерархии КП бозонно-фермионное соответствие ВКП задаётся как

$$\Phi(|\lambda\rangle) = \langle 0| e^{J(t)} |\lambda\rangle.$$

Оказывается, что

$$\Phi(|\lambda\rangle) = 2^{-l/2} q_\lambda \left(\frac{t}{2} \right).$$

6 Иерархия ВКП

6.1 Билинейное тождество ВКП

Иерархию ВКП проще всего задать через её *билинейное тождество*

$$\begin{aligned} \frac{1}{2\pi i} \oint e^{\xi^h(t-t', k)} \tau_{ВКП}(t - 2[k^{-1}]) \tau_{ВКП}(t' + 2[k^{-1}]) \frac{dk}{k} = \\ = \tau_{ВКП}(t) \tau_{ВКП}(t'), \end{aligned} \quad (6.1)$$

где

$$t \pm [k^{-1}] \stackrel{\text{опр}}{=} \left\{ t_1 \pm k^{-1}, t_2 \pm \frac{1}{2}k^{-2}, t_3 \pm \frac{1}{3}k^{-3}, \dots \right\} \quad (6.2)$$

и

$$\xi^h(t, k) = \sum_{j \in \mathbb{Z}_{\text{неч}}^+} t_j k^j. \quad (6.3)$$

Нетрудно получить из билинейного тождества первое уравнение иерархии ВКП в терминах производных Хироты

$$(D_1^6 - 5D_1^3 D_3 - 5D_3^2 + 9D_1 D_5) \tau_{ВКП} \cdot \tau_{ВКП}. \quad (6.4)$$

Что можно переписать в обычных производных как

$$\begin{aligned} -60 \left(\frac{\partial^2 F}{\partial t_1^2} \right)^3 - 30 \frac{\partial^4 F}{\partial t_1^4} \frac{\partial^2 F}{\partial t_1^2} + 30 \frac{\partial^2 F}{\partial t_1 \partial t_3} \frac{\partial^2 F}{\partial t_1^2} - \frac{\partial^6 F}{\partial t_1^6} + \\ + 5 \frac{\partial^2 F}{\partial t_3^2} - 9 \frac{\partial^2 F}{\partial t_1 \partial t_5} + 5 \frac{\partial^4 F}{\partial t_1^3 \partial t_3} = 0. \end{aligned} \quad (6.5)$$

В фермионном представлении τ -функции ВКП задаются как

$$\tau(t) = \langle 0 | e^{J(t)} G | 0 \rangle. \quad (6.6)$$

6.2 Соотношения Плюккера ВКП, гипергеометрические τ -функции

Соотношения Плюккера для ВКП

$$\begin{aligned} c[\alpha_1, \dots, \alpha_k] c[\alpha_1, \dots, \alpha_k, \beta_1, \beta_2, \beta_3, \beta_4] - c[\alpha_1, \dots, \alpha_k, \beta_1, \beta_2] c[\alpha_1, \dots, \alpha_k, \beta_3, \beta_4] + \\ + c[\alpha_1, \dots, \alpha_k, \beta_1, \beta_3] c[\alpha_1, \dots, \alpha_k, \beta_2, \beta_4] - c[\alpha_1, \dots, \alpha_k, \beta_1, \beta_4] c[\alpha_1, \dots, \alpha_k, \beta_2, \beta_3] = 0. \end{aligned} \quad (6.7)$$

Простейшее соотношение Плюккера

$$c_{\emptyset}c_{\boxplus\boxplus} - c_{\square}c_{\boxplus\boxminus} + c_{\boxminus}c_{\boxplus\boxplus} - c_{\boxminus\boxminus}c_{\boxplus\boxplus} = 0. \quad (6.8)$$

Для определения гипергеометрических τ -функций зададим функцию

$$r_{\lambda} = \prod_{w \in \lambda} r(c(w)), \quad (6.9)$$

где

$$c(w) = j, \quad 1 \leq i \leq l(\lambda), \quad 1 \leq j \leq \lambda_i. \quad (6.10)$$

Визуализация функции $c(w)$ на диаграмме Юнга:

1	2	3	4
1	2	3	
1	2		

Также данную функцию можно проще записать как

$$r_{\lambda} = \prod_{i=1}^l r(1)r(2) \cdots r(\lambda_i). \quad (6.11)$$

Для $k \in \mathbb{Z}_{\text{неч}}^+$ и функции r , удовлетворяющей условию

$$r(n) = r(1 - n), \quad (6.12)$$

можно ввести операторы

$$B_k = \oint \frac{dz}{4\pi i} : \left[\left(\frac{1}{z} r(D) \right)^k \phi(z) \right] \cdot \phi(-z) : = \frac{1}{2} \sum_{n \in \mathbb{Z}} (-1)^n : \phi_n : \phi_{k-n} \prod_{i=0}^{k-1} r(n-i), \quad (6.13)$$

$$B(\beta) = \sum_{n \in \mathbb{Z}_{\text{неч}}^+} \beta_n B_n. \quad (6.14)$$

Гипергеометрические τ -функции ВКП задаются как

$$\tau(t) = \langle 0 | e^{H(t)} e^{-B(\beta)} | 0 \rangle, \quad (6.15)$$

и могут быть представлены в виде сумм по строгим разбиениям SP.

$$\tau(t) = \sum_{\lambda \in \text{SP}} r_{\lambda} q_{\lambda} \left(\frac{\beta}{2} \right) q_{\lambda} \left(\frac{t}{2} \right). \quad (6.16)$$

Данные функции действительно решают иерархию ВКП, т. к. q -полиномы Шура удовлетворяют соотношениям Плюккера ВКП, а множители $r(c(w))$ выносятся как общие. Например, для простейшего соотношения Плюккера общим множителем будет

$$r(1)^3 r(2)^2 r(3). \quad (6.17)$$

6.3 τ -функция модели БГВ

Статсумма данной матричной модели даётся как

$$Z_{\text{БГВ}}(J, J^\dagger) = \frac{1}{V_N} \int_{N \times N} DU e^{\text{Tr}(J^\dagger U + JU^\dagger)}, \quad (6.18)$$

где интеграл берётся по пространству унитарных матриц $N \times N$ с мерой Хаара DU и

$$V_N = \int_{N \times N} DU \quad (6.19)$$

— объём унитарной группы. Нас будет интересовать так называемая фаза Концевича данной модели, где времена t_k определены как

$$t_k = -\frac{1}{2k-1} \text{Tr}(JJ^\dagger)^{-k+1/2}. \quad (6.20)$$

Известно, что статсумма модели БГВ в временах, нормализованных подобающим образом, $\tau_{\text{БГВ}}(t/2)$, является гипергеометрической с параметрами

$$r(n) = \frac{(2n-1)^2}{16}, \quad \beta_k = 2\delta_{k,1}. \quad (6.21)$$

6.4 τ -функция спиновых чисел Гурвица

Следующая τ -функция является решением иерархии ВКП:

$$\tau(p, \bar{p}) = \sum_{\lambda \in \text{SP}} \left(e^{u[\Phi_\lambda([3]) + \frac{1}{2}\Phi_\lambda([1,1])]} \right) q_\lambda\left(\frac{p}{2}\right) q_\lambda\left(\frac{\bar{p}}{2}\right). \quad (6.22)$$

7 Квантовая деформация иерархии ВКП

Аналогично деформации иерархии КП получаем первое уравнение \hbar -ВКП

$$\begin{aligned} -60 \left(\frac{\partial^2 F}{\partial t_1^2} \right)^3 - 30\hbar^2 \frac{\partial^4 F}{\partial t_1^4} \frac{\partial^2 F}{\partial t_1^2} + 30 \frac{\partial^2 F}{\partial t_1 \partial t_3} \frac{\partial^2 F}{\partial t_1^2} - \hbar^4 \frac{\partial^6 F}{\partial t_1^6} + \\ + 5 \frac{\partial^2 F}{\partial t_3^2} - 9 \frac{\partial^2 F}{\partial t_1 \partial t_5} + 5\hbar^2 \frac{\partial^4 F}{\partial t_1^3 \partial t_3} = 0. \end{aligned} \quad (7.1)$$

7.1 τ -функция модели БГВ в фазе Концевича

Добавление $1/\hbar$ в экспоненту матричного интеграла модели БГВ

$$Z_{\hbar\text{БГВ}} = \frac{1}{V_N} \int_{N \times N} DU \exp \left(\frac{1}{\hbar} \text{Tr}(J^\dagger U + JU^\dagger) \right) \quad (7.2)$$

даёт разложение по родам для фазы Концевича. Деформация в данной фазе принимает вид

$$t_k \rightarrow t_k \hbar^{k-1}. \quad (7.3)$$

Имеем соотношение

$$\tau_{\text{БГВ}} \left(\frac{t}{2} \right) = \sum_{\lambda \in \text{SP}} r_\lambda q_\lambda (\delta_{k,1}) q_\lambda \left(\frac{t}{2} \right). \quad (7.4)$$

Откуда

$$\tau_{\text{БГВ}}^{\hbar} \left(\frac{t}{2} \right) = \sum_{\lambda \in \text{SP}} r_\lambda q_\lambda (\delta_{k,1}) q_\lambda \left(\frac{t_k \hbar^{k-1}}{2} \right). \quad (7.5)$$

Утверждение. *Выполнено равенство*

$$q_\lambda \left(\frac{t_k \hbar^{k-1}}{2} \right) = \hbar^{|\lambda|} q_\lambda \left(\frac{t}{2\hbar} \right). \quad (7.6)$$

Доказательство. Известно, что

$$q_R(p) = \sum_{\substack{\Delta \in \text{OP} \\ \Delta \vdash |R|}} \frac{\Psi_R(\Delta)}{z_\Delta} p_\Delta, \quad (7.7)$$

где

- OP — множество нечётных разбиений, то есть разбиений, где все элементы разбиения — нечётные.
- $\Psi_R(\Delta)$ — характеры группы Сергеева
- z_Δ — порядок автоморфизма разбиения Δ
- $p_\Delta = \prod_{i=1}^l p_{\Delta_i}$
- $p_k = kt_k$

Тогда

$$\prod_{i=1}^l p_{\lambda_i} \hbar^{\lambda_i} = \hbar^{|\lambda|} p_\lambda. \quad (7.8)$$

Значит

$$q_\lambda \left(\frac{t_k \hbar^{k-1}}{2} \right) = \hbar^{|\lambda|} q_\lambda \left(\frac{t}{2\hbar} \right). \quad (7.9)$$

□

Теперь имеем

$$\tau_{\text{БГВ}}^{\hbar} \left(\frac{t}{2} \right) = \sum_{\lambda \in \text{SP}} r_{\lambda} \hbar^{|\lambda|} q_{\lambda}(\delta_{k,1}) q_{\lambda} \left(\frac{t}{2\hbar} \right). \quad (7.10)$$

Утверждение. *Выполнено равенство*

$$\frac{q_{\lambda}(\delta_{k,1})}{\hbar^{|\lambda|}} = q_{\lambda} \left(\frac{\delta_{k,1}}{\hbar} \right). \quad (7.11)$$

Доказательство. Напрямую следует из

$$q_R(\delta_{k,1}) = \frac{\Psi_R(\{1, \dots, 1\})}{z_{\{1, \dots, 1\}}} p_1^{|R|}.$$

□

Это позволяет нам написать

$$\tau_{\text{БГВ}}^{\hbar} \left(\frac{t}{2} \right) = \sum_{\lambda \in \text{SP}} r_{\lambda} \hbar^{2|\lambda|} q_{\lambda} \left(\frac{\delta_{k,1}}{\hbar} \right) q_{\lambda} \left(\frac{t}{2\hbar} \right). \quad (7.12)$$

Вспоминая определение r_{λ} (6.9) и функцию $r(n)$ для модели БГВ (6.21), можем записать для модели БГВ

$$r_{\lambda} = \prod_{w \in \lambda} \frac{(2c(w) - 1)^2}{16}. \quad (7.13)$$

Это позволяет записать

$$r_{\lambda}^{\hbar} = \hbar^{2|\lambda|} r_{\lambda} = \prod_{w \in \lambda} \frac{\hbar^2 (2c(w) - 1)^2}{16}, \quad (7.14)$$

и мотивирует ввести

$$r^{\hbar}(n) = \frac{\hbar^2 (2n - 1)^2}{16} = \left(\frac{\hbar}{2} \left(n - \frac{1}{2} \right) \right)^2. \quad (7.15)$$

Замена

$$n \rightarrow \frac{1}{2} + \hbar \left(n - \frac{1}{2} \right) \quad (7.16)$$

позволяет перейти от

$$r(n) = \left(\frac{1}{2} \left(n - \frac{1}{2} \right) \right)^2 \quad (7.17)$$

к $r^{\hbar}(n)$. Таким образом, мы представили \hbar -деформацию τ -функции модели БГВ в виде

$$\tau_{\text{БГВ}}^{\hbar} \left(\frac{t}{2} \right) = \sum_{\lambda \in \text{SP}} r_{\lambda}^{\hbar} q_{\lambda} \left(\frac{\delta_{k,1}}{\hbar} \right) q_{\lambda} \left(\frac{t}{2\hbar} \right), \quad (7.18)$$

имеющем следующую интерпретацию в терминах фермионного формализма

$$\tau_{\text{БГВ}}^{\hbar} = \langle 0 | e^{H(t/\hbar)} \exp \left(-\frac{1}{\hbar} B^{\hbar} \right) | 0 \rangle, \quad (7.19)$$

$$B^{\hbar} = \sum_{n \in \mathbb{Z}_{\text{неч}}^+} \beta_n B_n^{\hbar}, \quad (7.20)$$

$$B_k^{\hbar} = \oint \frac{dz}{4\pi i} : \left[\left(\frac{1}{z} r \left[\frac{1}{2} + \hbar \left(D - \frac{1}{2} \right) \right] \right)^k \phi(z) \right] \cdot \phi(-z): \quad (7.21)$$

Получается интригующая замена для оператора D

$$D \rightarrow \frac{1}{2} + \hbar \left(D - \frac{1}{2} \right). \quad (7.22)$$

7.2 Спиновые числа Гурвица

Формула Римана-Гурвица (простые точки ветвления имеют профиль $(r + 1, 1, \dots, 1)$, где r — чётное)

$$2g - 2 = -2|\mu| + (|\mu| - \ell(\mu)) + (|\nu| - \ell(\nu)) + mr.$$

Т. к. $|\mu| = |\nu|$, то

$$2g - 2 = mr - \ell(\mu) - \ell(\nu).$$

$$\Phi_R(\{3\}) = \frac{(|R| - 3)!}{(|R| - 3)!} \Phi_R \left(\left\{ 3, 1^{|R|-3} \right\} \right) = \Phi_R \left(\left\{ 3, 1^{|R|-3} \right\} \right).$$

$$\Phi_R(\{1, 1\}) = \frac{(|R| - 2 + 2)!}{2! (|R| - 2)!} \Phi_R \left(\left\{ 1^{|R|} \right\} \right) = \frac{|R|!}{(|R| - 2)!} = |R| (|R| - 1).$$

Значит

$$\begin{aligned}
Z^{(\text{spin})}(\mathbf{p}, \bar{\mathbf{p}}) &= \sum_{R \in \text{SP}} \exp \left(u \left[\Phi_R(\{3\}) + \frac{1}{2} \Phi_R(\{1, 1\}) \right] \right) Q_R(\mathbf{p}) Q_R(\bar{\mathbf{p}}) = \\
&= \sum_{R \in \text{SP}} \exp \left(u \left[\Phi \left(\{3, 1^{|R|-3}\} \right) + \frac{|R|(|R|-1)}{2} \right] \right) Q_R(\mathbf{p}) Q_R(\bar{\mathbf{p}}) = \\
&= \sum_{m=0}^{\infty} \sum_{R \in \text{SP}} \exp \left(\frac{u|R|(|R|-1)}{2} \right) \frac{(\Phi(\{3, 1^{|R|-3}\}) u)^m}{m!} Q_R(\mathbf{p}) Q_R(\bar{\mathbf{p}}) = \\
&= \sum_{m=0}^{\infty} \sum_{R \in \text{SP}} \sum_{\substack{\Delta_1, \Delta_2 \in \text{OP} \\ |\Delta_1|=|\Delta_2|=|R|}} \exp \left(\frac{u|R|(|R|-1)}{2} \right) \left(\Phi \left(\{3, 1^{|R|-3}\} \right) \right)^m \times \\
&\quad \times \mathfrak{d}_R^2 \Phi_R(\Delta_1) \Phi_R(\Delta_2) p_{\Delta_1} p_{\Delta_2} \frac{u^m}{m!} = \\
&= \sum_{m=0}^{\infty} \sum_{n=0}^{\infty} \exp \left(\frac{un(n-1)}{2} \right) \sum_{\substack{R \in \text{SP} \\ |R|=n}} \sum_{\substack{\Delta_1, \Delta_2 \in \text{OP} \\ |\Delta_1|=|\Delta_2|=|n|}} \mathfrak{d}_R^2 \left(\Phi \left(\{3, 1^{|R|-3}\} \right) \right)^m \times \\
&\quad \times \Phi_R(\Delta_1) \Phi_R(\Delta_2) p_{\Delta_1} p_{\Delta_2} \frac{u^m}{m!} = \\
&= \sum_{m=0}^{\infty} \sum_{n=0}^{\infty} \sum_{\substack{\Delta_1, \Delta_2 \in \text{OP} \\ |\Delta_1|=|\Delta_2|=|n|}} \exp \left(\frac{un(n-1)}{2} \right) \times \\
&\quad \times \text{Hur}_{0,n}^{(\text{spin})}(\Delta_1, \Delta_2, \underbrace{\{3, 1^{n-3}\}, \dots, \{3, 1^{n-3}\}}_m) p_{\Delta_1} p_{\Delta_2} \frac{u^m}{m!}.
\end{aligned}$$

$$|R| - 3 \left\{ \begin{array}{c} \begin{array}{|c|c|c|} \hline \square & \square & \square \\ \hline \square & & \\ \hline \end{array} \\ \vdots \\ \square \end{array} \right.$$

7.3 Гипергеометрические τ -функции

Гипотеза состоит в том, что деформация

$$\left\{ \begin{array}{l} t_k \rightarrow \frac{t_k}{\hbar}, \\ \beta_k \rightarrow \frac{\beta_k}{\hbar}, \\ r(n) \rightarrow r \left(\frac{1}{2} + \hbar \left(n - \frac{1}{2} \right) \right) \end{array} \right. \quad (7.23)$$

даёт для гипергеометрических τ -функций иерархии ВКП разложение по родам. Для первых порядков непосредственные вычисления показывают, что свободная энергия имеет разложение по чётным положительным степеням \hbar .

8 Заключение

Выводы и предложения автора касательно последующей работы.

Список литературы

Andreev, A и др. (2020). «Genus expansion of matrix models and \hbar expansion of KP hierarchy». В: *Journal of High Energy Physics* 2020.12, с. 1—32.